

элементов. Таким образом, сложность декодирования $L_2(n, \tilde{\Phi}_1)$ удовлетворяет неравенству $L_2(n, \tilde{\Phi}_1) \leq n^2 \log^{3(1+\epsilon'_n)} n$ ($\epsilon'_n \rightarrow 0, n \rightarrow \infty$).

2. Пусть появление очередной буквы, порождаемой источником, зависит от s предыдущих, т. е. рассмотрим марковский источник связности $s, s > 1$, порождающий бесконечную последовательность букв алфавита $\{a_1, \dots, a_k\}, k > 2$. Как известно [9], заменой входного алфавита любой марковский источник связности $s > 1$ сводится к марковскому источнику связности $s = 1$. Поэтому будем считать, что $s = 1$. С другой стороны, в соответствии с результатами [4] кодирование произвольного слова u длины n , порожденного марковским источником с k входными буквами, сводится к кодированию не более $(k - 1)$ слов, суммарная длина которых не превосходит n , в алфавите из двух букв. Поэтому кодирование сводится к кодированию, изученному в предыдущем пункте, и требует затраты не более $c_6 n^2 \log^{3(1+\epsilon'_n)} n$ элементов на кодирование и не более $c_6 n^2 \log^{3(1+\epsilon'_n)} n$ элементов на декодирование ($\epsilon_n \rightarrow 0, \epsilon'_n \rightarrow 0, n \rightarrow \infty$).

ЛИТЕРАТУРА

1. Кричевский Р. Е. Лекции по теории информации. Новосибирск, изд. НГУ, 1970.
2. Шарьков Ю. М. Кодирование сообщений конечной длины на выходе источника с неизвестной статистикой.— В кн.: V конференция по теории кодирования и передачи информации. Т. 1. Теория информации. Москва — Горький, 1972, с. 147—152.
3. Трофимов В. К. Избыточность универсального кодирования произвольных марковских источников.— «Проблемы передачи информации», 1974, т. 10, № 4, с. 16—24.
4. Бабкин В. Ф. Метод универсального кодирования независимых сообщений ненекспоненциальной трудоемкости.— «Проблемы передачи информации», 1971, т. 7, № 4, с. 13—21.
5. Бабкин В. Ф., Шарьков Ю. М. Нумерация последовательностей с заданным числом переходов.— В кн.: Кодирование в сложных системах. М., «Наука», 1974, с. 175—180.
6. Cover T. M. Enumerative source encoding.— “IEEE Trans. on Inform. Theory”, 1973, vol. IT 19, N 1, p. 73—77.
7. Кнут Д. Искусство программирования для ЭВМ. Т. 2. М., «Мир», 1977.
8. Лупанов О. Б. Об одном подходе к синтезу управляющих систем — принципе локального кодирования.— В кн.: Проблемы кибернетики. Вып. 14. М., «Наука», 1965, с. 31—110.
9. Романовский В. И. Дискретные цепи Маркова. М., Гостехиздат, 1949.

Поступило в редакцию 6 декабря 1977 г.

УДК 62—501.22 : 534

В. Т. ЛЯПУНОВ
(Ленинград)

К ЧИСЛЕННому АНАЛИЗУ ВЗАИМНЫХ СПЕКТРОВ СЛУЧАЙНЫХ ПРОЦЕССОВ

В ряде работ показаны возможности и преимущества анализа спектров мощности и взаимных спектров временных рядов, минуя стадию расчета функции взаимной корреляции путем осреднения произведений спектров амплитуд [1—3]. В этих работах используются следующие оценки:

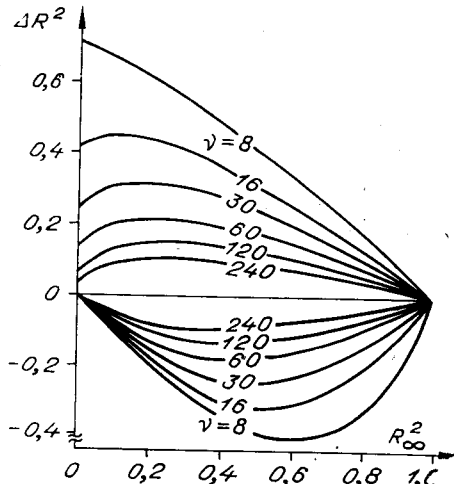
а) для взаимного спектра

$$S_{12}(f) = \frac{1}{Np} \sum_{j=1}^p Z_{1j}(f) Z_{2j}^*(f), \quad (1)$$

где

$$Z_{nj}(f) = \sum_{t=1}^N e^{-i2\pi ft} z_{nj}(t) w(t) \quad (2)$$

— оценки комплексных спектров амплитуд временных рядов $z_{nj}(t)$, $*$ означает комплексно-сопряженную величину; f — частота ($f = t/N$); $w(t)$ — весовая функция для временного ряда $z_{nj}(t)$;



Rис. 1.

При анализе взаимных спектров определение дисперсии оценки (1) значительно усложняется. Расчеты доверительных интервалов для когерентности и фазы основаны на свойствах χ^2 -распределения, которому удовлетворяют периодограммы нормального случайного процесса [4]. При этом предполагается, что для принятой спектральной оценки число степеней свободы распределения известно. Тогда можно воспользоваться результатами работы [1], приведенными в виде графиков на рис. 1, где 95%-ные доверительные интервалы оценки коэффициента когерентности (3) представлены в зависимости от его истинного (вероятностного) значения при различном числе степеней свободы v оценок спектров мощности. Таким образом, для определения качества оценки спектра мощности одного из анализируемых случайных процессов. Однако число степеней свободы зависит не только от типа случайного процесса, но также и от вида спектральной оценки. Так, оценка по формуле (1), называемая линейно-сглаженной периодограммой, при использовании одной реализации дает в результате анализа нормального процесса лишь две степени свободы, даже если с помощью весовой функции $w(l)$ ширина полосы фильтра будет значительно расширена. Для увеличения числа степеней свободы и соответственно уменьшения дисперсии оценки применяют осреднение по ансамблю реализаций. На практике применяют осреднение (сглаживание) не только по ансамблю реализаций, но и по частоте:

$$\hat{S}_{nj}(f) = d \sum_{l=1}^N S_{nj}(f-l) V(l), \quad (5)$$

где d — нормирующий множитель, $V(l)$ — весовая функция частотного сглаживания. Обычно функция $V(l)$ является симметричной с максимумом, равным единице при нулевом значении аргумента, и стремится к нулю при $l \rightarrow N/2$. В отличие от весовой функции $w(l)$, применяемой непосредственно к самому случайному процессу $z(t)$ и приводящей к «линейному» сглаживанию, функция $V(l)$ сглаживает энергетические спектральные характеристики процесса. Такое сглаживание принято называть «квадратичным» [2]. Поскольку при получении спектральных ординат (1) использовалось «линейное» сглаживание, оценка типа (5) представляет одновременное применение «линейного» и «квадратичного» сглаживания. Расчет числа степеней свободы для обоих видов сглаживания порознь выполнен в работе [2], а случай их совместного применения не изучен.

Рассмотрим дисперсию и эквивалентное число степеней свободы для сглаженной спектральной оценки типа (5) на примере спектра мощности нормального случайного процесса. Линейно-сглаженную оценку вида (1) обозначим индексом l , квадратично-сглаженную оценку — индексом k , а оценку (5) — индексом c . Будем рассматривать лишь одну реализацию, так как общее число степеней свободы пропорционально количеству линейно-независимых реализаций.

Для одной реализации оценку (1) можем переписать в виде

$$\hat{S}_l(k) = \frac{1}{N} \left[\left| \sum_{l=1}^N X(k-l) W(l) \right|^2 + \left| \sum_{l=1}^N Y(k-l) W(l) \right|^2 \right], \quad (6)$$

б) для коэффициента когерентности

$$R^2(f) = |S_{12}|^2 / (S_{11}S_{22}); \quad (3)$$

в) для спектра фаз

$$\Phi(f) = \arctg [\operatorname{Im}(S_{12}) / \operatorname{Re}(S_{12})]. \quad (4)$$

Формулы (1) — (4) осуществляют осреднение взаимных периодограмм по p реализациям длиной N чисел каждая.

Для двух идентичных временных рядов $z_{1j}(t) = z_{2j}(t)$ выражение (1) дает оценку спектральной плотности мощности, при этом коэффициенты когерентности $\hat{R}^2(f) = 1$, а фаза $\Phi(f) = 0$. Статистические свойства такой оценки спектра мощности для случайных временных рядов $z(t)$, имеющих нормальное распределение, известны. Оценка (1) является асимптотически несмещенной, а ее состоятельность определяется убыванием дисперсии при увеличении числа осредненных реализаций p обратно пропорционально величине $\Delta f T$, где Δf — ширина полосы эквивалентных фильтров анализатора, T — время наблюдения процесса.

где

$$W(l) = \sum_{t=1}^N W(t) e^{-2\pi i lt/N} \quad (7)$$

— линейное спектральное «окно», а $X(k)$ и $Y(k)$ — соответственно вещественная и минимая части спектральной амплитуды временного ряда $z(t)$, т. е. преобразования типа (7) от самого процесса. Для нормального случайного процесса $z(t)$ с нулевым математическим ожиданием спектральные амплитуды $X(k)$ и $Y(k)$ являются некоррелированными случайными величинами, распределенными по нормальному закону с математическими ожиданиями, равными нулю, и равными между собой дисперсиями $D\{X(k)\} = D\{Y(k)\} = \overline{z^2}/2N$ ($k=1, N$).

Оценку, основанную на смешанном сглаживании (5), перепишем в виде

$$\widehat{S}_c(k) = \sum_m \widehat{S}_{\pi}(k-m) V(m). \quad (8)$$

Ее математическое ожидание

$$E\{\widehat{S}_c(k)\} = \sum_m V(m) E\{\widehat{S}_{\pi}(k-m)\} = \frac{2E(z^2)}{N} \sum_p W^2(p) \sum_m V(m). \quad (9)$$

Найдем теперь дисперсию смешанной оценки

$$D\{\widehat{S}_c(k)\} = E\{\widehat{S}_c^2(k)\} - E^2\{\widehat{S}_c(k)\}. \quad (10)$$

Выполняя ряд преобразований, аналогичных [2], получим

$$D\{\widehat{S}_c(k)\} = \frac{4E^2(z^2)}{N^2} \sum_m \sum_n V(m) V(n) \sum_p \sum_q W(p) W(q) W(p+m+n) W(q+m-n) \quad (11)$$

Из формул (9) и (11) можем найти эквивалентное число степеней свободы смешанной оценки типа (5) или (8):

$$v_c = \frac{2E^2\{\widehat{S}_c(k)\}}{D\{\widehat{S}_c(k)\}} = 2 \frac{\sum_m \sum_n V(m) V(n)}{\sum_m \sum_n V(m) V(n) \rho^2(m-n)}, \quad (12)$$

где $\rho(r) = \sum_p W(p) W(p-r) \left[\sum_q W^2(q) \right]^{-1}$ — функция корреляции линейно-сглаженных спектральных ординат. Очевидно, что $\rho(0)=1$, а при $0 < r < N$ $\rho(r) \leq 1$. Следовательно, введение квадратичного сглаживания в комбинации с линейным приводит к увеличению числа степеней свободы. Как указывалось выше, линейное сглаживание не приводит к увеличению числа степеней свободы оценки спектра. Таким образом, смешанное (линейное и квадратичное) сглаживание позволяет не только подобрать необходимую частотную характеристику фильтра, но и обеспечить улучшение статистической стабильности оценки спектра.

Сопоставим увеличение числа степеней свободы с расширением полосы эквивалентного фильтра [5]. Определяя эффективную ширину полосы фильтра как отношение энергии процесса на выходе фильтра к спектральной плотности энергии на входе фильтра, для линейной, квадратичной и смешанной сглаженных оценок можем получить:

$$\Delta f_{\pi} = \frac{\sum_l W^2(l)}{TW^2(0)}; \quad \Delta f_k = \frac{\sum_l V(l)}{TV(0)}; \quad (13)$$

$$\Delta f_c = \frac{\sum_m V(m) \sum_l W^2(l)}{T \sum_m V(m) W^2(-m)}. \quad (14)$$

С помощью (12) и (14) можно ввести критерий качества спектральной оценки, взяв отношение числа степеней свободы, обратно пропорционального дисперсии оценки, к ширине полосы фильтра. Перейдем к безразмерному отношению с помощью длительности реализации, приняв в качестве критерия величину $\kappa = v/(T\Delta f)$. В общем случае смешанного сглаживания получим

$$\kappa_c = \frac{2 \sum_n V(n) \sum_p W^2(p) \sum_m V(m) W^2(-m)}{\sum_m \sum_n V(n) V(m) \left[\sum_p W(p) W(p-m+n) \right]^2}. \quad (15)$$

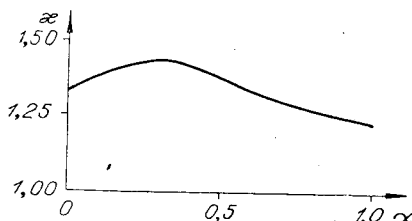


Рис. 2.

Формула (15) позволяет выбрать оптимальный вариант сглаживания в зависимости от поставленной задачи. Обычно желательна наименьшая ширина полосы фильтра при заданной допустимой дисперсии оценки, т. е. необходимо искать максимум величины χ .

В качестве примера на рис. 2 приведена расчетная зависимость величины χ для смешанного сглаживания следующего вида:

- 1) весовая функция для процесса $w(t) = 0.5 [1 + \cos(2\pi t/N)]$;
- 2) соответствующее ей «линейное» спектральное «окно» $W(0) = 1; W(\pm 1) = 0.5; W(m \geq 2) = 0$;

3) весовая функция «квадратичного» сглаживания по частоте $V(0) = 1; V(\pm 1) = a; V(m \geq 2) = 0$, где a — величина, изменяющаяся в пределах от нуля до единицы. Случай $a=0$ соответствует только линейному сглаживанию, а $a=1$ — энергетическому осреднению трех соседних линейно-сглаженных спектральных ординат. Расчет показывает, что с изменением параметров смешанного сглаживания возможно достижение некоторого оптимального сглаживания в заданном классе.

ЛИТЕРАТУРА

1. Haubrich R. A. Earth noise, 5 to 500 millcycles per second.— "J. Geophys. Res.", 1965, vol. 70, N 6, p. 1415—1427.
2. Tick L. J. Estimation of coherency.— In: Spectral Analysis of time Series. Harris B., ed. N.-Y., 1967, p. 133—152.
3. Sloane E. A. Comparison of linearly and quadratically modified spectral estimates of gaussian signals.— "IEEE Trans. on Audio and Electroacoustics", 1969, vol. AU-17, N 2, p. 133—137.
4. Blackman R. B., Tukey J. W. The measurement of power spectra from the point of view of communication engineering.— "Bell Syst. Techn. J.", 1958, N 1—2, p. 185—569.
5. Харкевич А. А. Спектры и анализ. М., ФМ, 1962.

Поступило в редакцию 29 апреля 1971 г.; окончательный вариант — 12 апреля 1977 г.

УДК 621.378 : 681.332 : 535.317

В. В. АРИСТОВ, Г. А. БАЩКИНА, Ю. П. БОГЛАЕВ,
В. И. ГРИГОРЬЕВ, Р. Р. ПОНОМАРЕВА

(Москва)

РЕГУЛЯРИЗАЦИЯ ПРИ УЛУЧШЕНИИ ИСКАЖЕННЫХ СВЕРТКОЙ ИЗОБРАЖЕНИЙ С ПОМОЩЬЮ ОПТИКО-ЦИФРОВОЙ ФИЛЬТРАЦИИ

Введение. Хорошо известно [1, с. 37], что если система, формирующая изображение, в ответ на входной импульсный сигнал $\delta(x - x_0, y - y_0)$ создает изображение с интенсивностью $h(x - x_0, y - y_0)$, то при предъявлении на вход такой системы сигнала $f(x, y)$ на выходе возникает изображение с интенсивностью $g(x, y)$, которая описывается уравнением свертки

$$g(x, y) = \int_{-\infty}^{\infty} \int_{-\infty}^{\infty} f(x', y') h(x - x', y - y') dx' dy'. \quad (1)$$

Такая ситуация встречается на практике при съемке расфокусированной или движущейся камерой, при съемке через турбулентную среду, при получении электронно-микроскопических изображений, при регистрации картин рентгеновской дифракции и в других случаях, и поэтому представляет большой интерес решение уравнения (1), т. е. восстановление по изображению — свертке $g(x, y)$ и ядру $h(x, y)$ — «идеального» изображения $f(x, y)$.

Задача решения уравнения свертки в последнее время посвящено немало математических работ (см. библиографию в [2]). Ранняя идея решения состояла в делении